

Advanced Plasma and Laser Science

プラズマ・レーザー特論E

Laser fundamentals

レーザーの基礎

Kenichi Ishikawa (石川顕一)

<http://ishiken.free.fr/english/lecture.html>

ishiken@atto.t.u-tokyo.ac.jp



Department of Nuclear
Engineering and Management



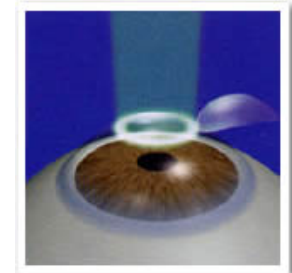
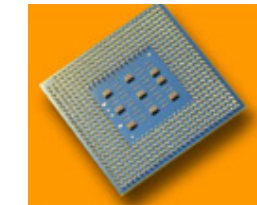
Laser : the greatest invention of the 20th century

レーザー：「20世紀最大の発明」

Industrial and medical application

産業・医療応用

- Industrial, daily life
 - CPU (Lithography リソグラフィー)
 - CD, DVD, Copy machine
 - Optical communication 光通信
- Medical
 - Hernia treatment, dental treatment, Laser scalpel, photodynamic therapy of cancer 腰痛の治療、歯科治療、手術(レーザーメス)、がん治療
 - LASIK レーシック、birthmark removal あざ・しみ治療、hair removal 脱毛
 - Baby gender selection 子供の生み分け (性別)



Laser : the greatest invention of the 20th century レーザー：「20世紀最大の発明」

Laser-related Nobel laureates レーザー関連のノーベル賞

- Townes, Basov, Prokhorov (1964–Physics) : レーザーの開発
- Gabor (1971–Physics) : ホログラフィーの発明と開発
- Bloembergen, Schawlow (1981–Physics) : レーザー分光
- Kroto, Curl, Smalley (1996–Chemistry) : フラーレンの合成
- Chu, Cohen-Tannoudji, Phillips (1997–Physics) : レーザー光を用いた原子の冷却とトラップ
- Zewail (1999–Chemistry) : フェムト秒化学
- Wieman, Ketterle, Cornell (2001–Physics) : アルカリ元素のボーズ・アインシュタイン凝縮
- Tanaka(田中耕一), Fenn (2002–Chemistry) : 生体分子の質量分析のためのイオン化法
- Glauber (2005–Physics) : 量子光学
- Hall, Hänsch (2005年–Physics) : レーザーによる精密分光学（光周波数コム技術）
- Kao (2009–Physics) : optical fiber
- Haroche, Wineland (2012 Physics) cavity QED

Laser is omnipresent from basic science to our daily life.

レーザーの応用は基礎研究から日常生活までのすみずみにまで行き渡っている。

Unique properties of a laser

レーザーの特徴

- Directionality 指向性
- Monochromaticity 单色性

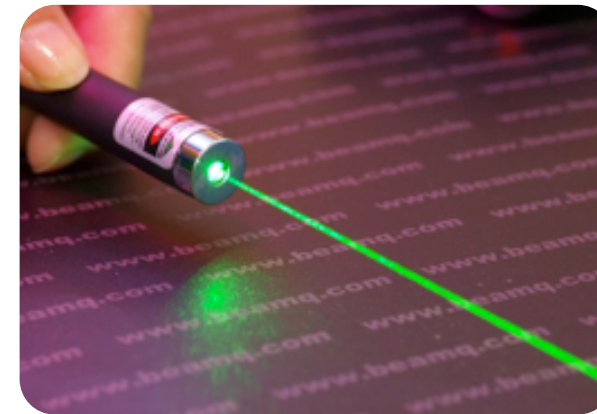
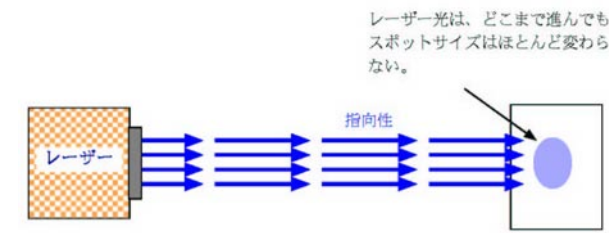


Department of Nuclear
Engineering and Management



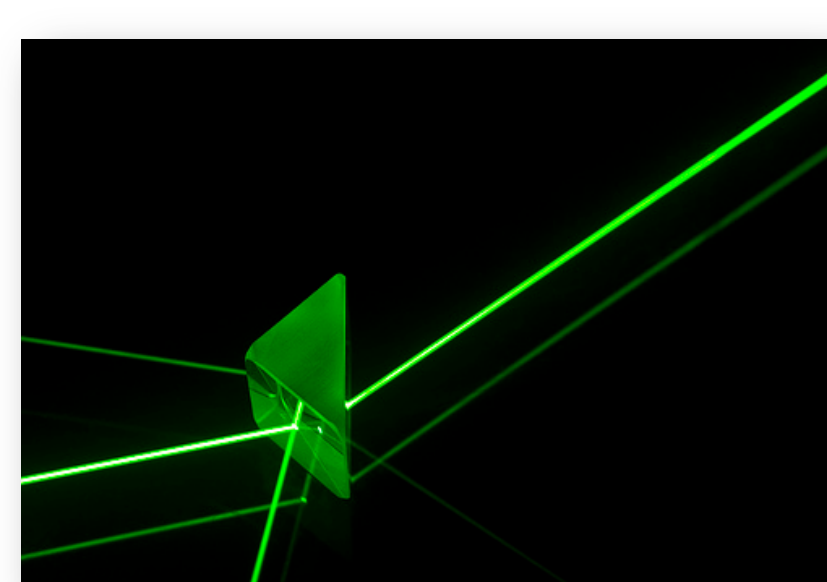
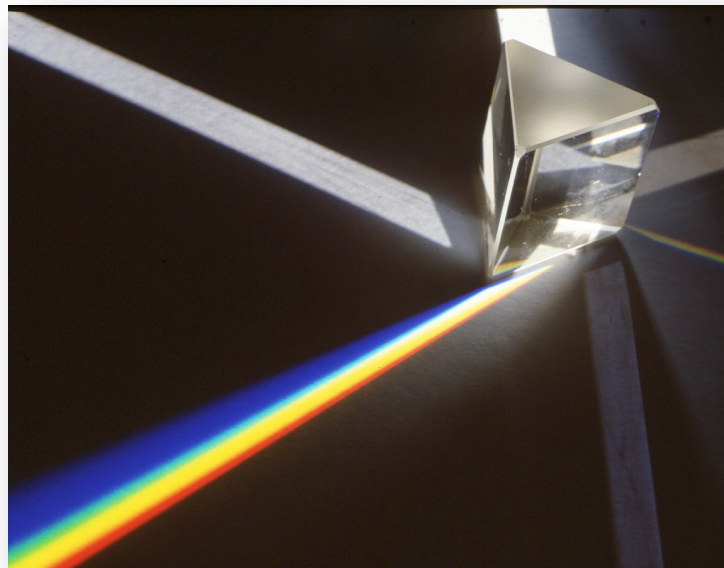
Directionality 指向性

- Laser light propagates straight with very little divergence.
- The laser energy is not lost during propagation.
- Easy to focus onto a small area with a simple lens.
- レーザー光は、細いビームになっていて、反射や屈折をさせない限り、ほとんど一直線に特定の方向のみへ進む。 (平行光線)



Monochromaticity 单色性

- Laser light has a single frequency or wavelength (pure color).
- 各種のレーザー光は、それぞれある特定の波長のみを含み、その波長は時間的に一定である。



How come?

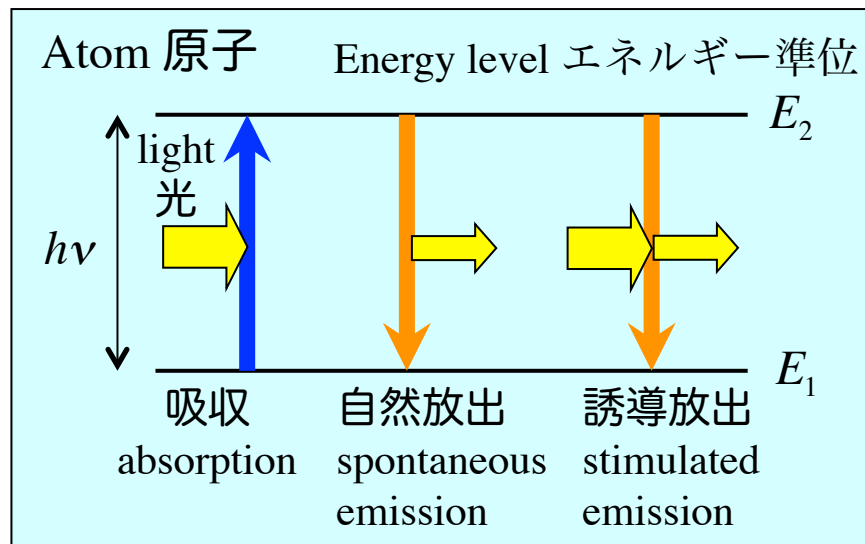


Department of Nuclear
Engineering and Management



Absorption and emission of light 光の吸収と放出

Einstein アインシュタイン(1916年)



Bohr's condition ボーアの条件

$$h\nu = E_2 - E_1$$

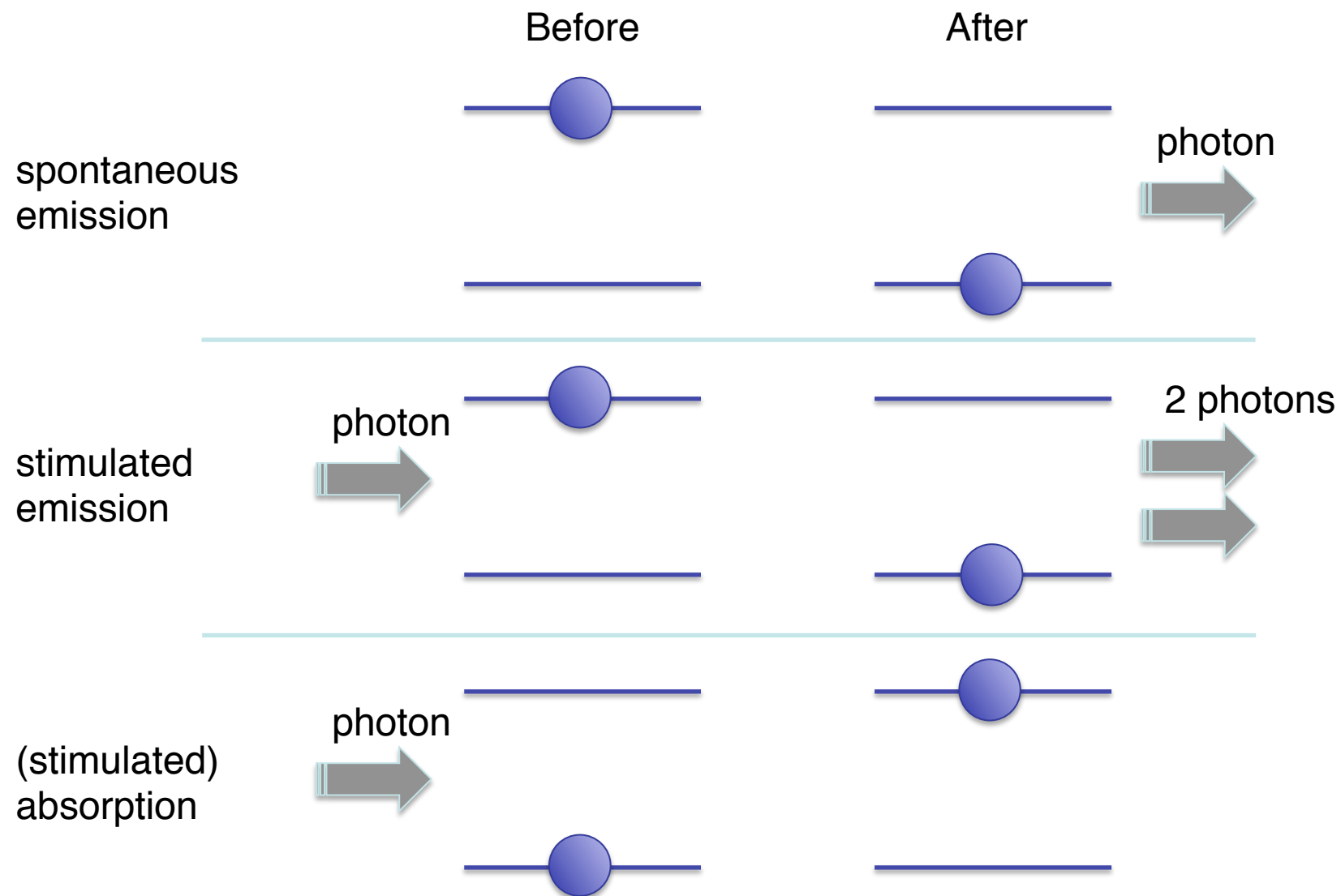
ν frequency 振動数

$h = 6.626 \times 10^{-34}$ J·s

Planck constant
プランク定数

Emission of light (photon) upon transition to a lower level 上の準位にある原子が下の準位に遷移する時、光を放出する。

- Spontaneous emission 自然放出 : happens without an incident light 入射光がなくても起こる。
- Stimulated emission 誘導放出 : emits a photon induced by the incident light 入射光につられて、光を放出する。



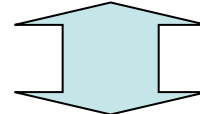
How is the laser different from the other light sources? レーザーとは

レーザー Laser

Light Amplification by Stimulated Emission of Radiation

= 誘導放出による光の増幅

→ highly directional, high-intensity, very pure wavelength
光の波長・位相・方向・偏光がそろっている。



他の光源（太陽、電球、蛍光灯、螢など） All the others (sun, light bulb, fluorescent lamp, firefly, …)

by spontaneous emission 自然放出を利用

→ diverse direction and wavelength, low-intensity
光の波長・位相・方向・偏光はばらばら。

コヒーレンス Coherence

Unique properties of a laser レーザー の特徴

Directionality & monochromacy
指向性・单色性

Classical electromagnetic wave 古典的電磁波

Polarization 偏光

Frequency (wavelength)
振動数（→波長）

$$\mathbf{E} = \mathbf{E}_0 e^{i\mathbf{k}\cdot\mathbf{x} - i\omega t + i\phi}$$

方向
Direction 位相 Phase

Laser is an ideal classical electromagnetic wave!
レーザーは理想的な古典的電磁波！



Department of Nuclear
Engineering and Management



Wavelength regions レーザー光の波長領域

電磁波は、波長によって次の表のようなスペクトル領域に分類できる。

| | Wavelength 波長 (nm) | |
|-------------------------------|--------------------|--|
| Hard X-ray 硬エックス線 | < 1 | |
| Soft X-ray 軟エックス線 | 1~30 | |
| Extreme ultraviolet 極端紫外(XUV) | 10~100 | |
| Vacuum ultraviolet 真空紫外(VUV) | 100~200 | |
| Violet 紫外 (UV) | 200~400 | |
| Visible 可視光 | 400~780 | |
| Near infrared 近赤外 | 780~1000 | |
| Middle infrared 中赤外 | 1000~10000 | |
| Far infrared 遠赤外 | 10000~1000000 | |

Laser wavelength
region
代表的なレーザー
の波長領域

Typical laser systems 代表的なレーザーシステム

| レーザーのタイプ | 波長 | パルス幅 |
|-----------------------|------------------|----------------------|
| Argon ion/アルゴンイオン | 488/514 nm | CW/連続 |
| Krypton ion/クリプトンイオン | 531/568/647 nm | CW/連続 |
| He-Ne/ヘリウムネオン | 633 nm | CW/連続 |
| CO ₂ | 10.6 μm | CW or pulse/連続またはパルス |
| Dye/色素 | 450 nm – 900 nm | CW or pulse/連続またはパルス |
| Diode/半導体 (ダイオード) | 650 nm – 900 nm | CW or pulse/連続またはパルス |
| Ruby/ルビー | 694 nm | 1 – 250 μs |
| Nd:YLF | 1053 nm | 100 ns – 250 μs |
| Nd:YAG | 1064 nm | 100 ns – 250 μs |
| Ho:YAG | 2120 nm | 100 ns – 250 μs |
| Ho:YSGG | 2780 nm | 100 ns – 250 μs |
| Er:YAG | 2940 nm | 100 ns – 250 μs |
| Alexandrite/アレキサンドライト | 720 nm | 50 – 100 μs |
| XeCl | 308 nm | 20 – 300 ns |
| XeF | 351 nm | 10 – 20 ns |
| KrF | 248 nm | 10 – 20 ns |
| ArF | 193 nm | 10 – 20 ns |
| エキシマ レーザー | | |
| Nd:YLF | 1053 nm | 30 – 100 ps |
| Nd:YAG | 1064 nm | 30 – 100 ps |
| Ti:Sapphire/チタンサファイア | 700 nm – 1000 nm | 5 fs – 100 ps |

Continuous wave laser
連続波(CW)レーザー

Pulse laser
パルスレーザー

Short pulse laser
短パルスレーザー

超短パルスレーザー Ultrashort pulse laser

Principles of a laser

レーザーの動作原理

参考書 (Reference): W. T. Silfvast, “Laser Fundamentals”



Department of Nuclear
Engineering and Management



Einstein A and B coefficients (1916) AINSHUTAIN no A, B keisuu no riron(1916-nen)

Temporal evolution of population density N_1 and N_2 占位数密度 N_1, N_2 の時間変化

$$\frac{dN_1}{dt} = -\frac{dN_2}{dt} = N_2 A - N_1 B_{12}W + N_2 B_{21}W$$

Thermal equilibrium (T)
熱平衡状態 (温度 T)

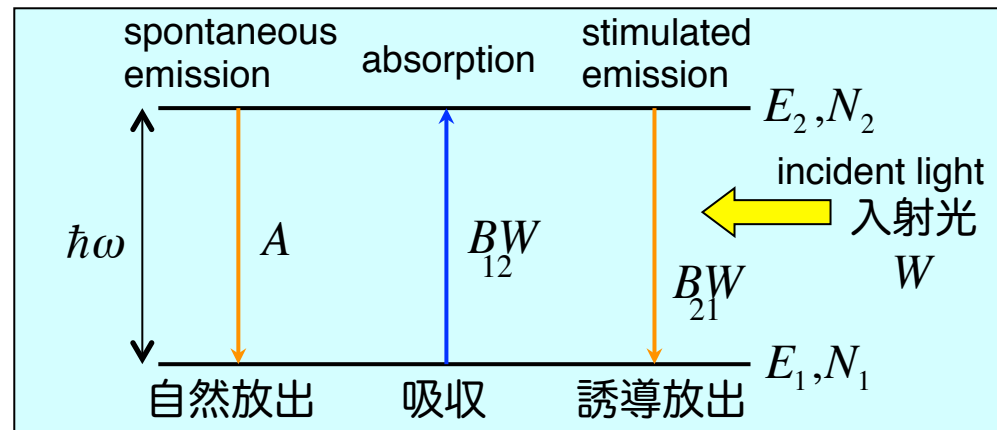
$$N_2 A - N_1 B_{12}W + N_2 B_{21}W = 0$$

$$\rightarrow W = \frac{A}{(N_1/N_2)B_{12} - B_{21}}$$

Boltzmann distribution ボルツマン分布

$$N_1/N_2 = \exp[(E_2 - E_1)/k_B T] = \exp[\hbar\omega/k_B T]$$

$$W(\omega) = \frac{A}{\exp[\hbar\omega/k_B T]B_{12} - B_{21}}$$

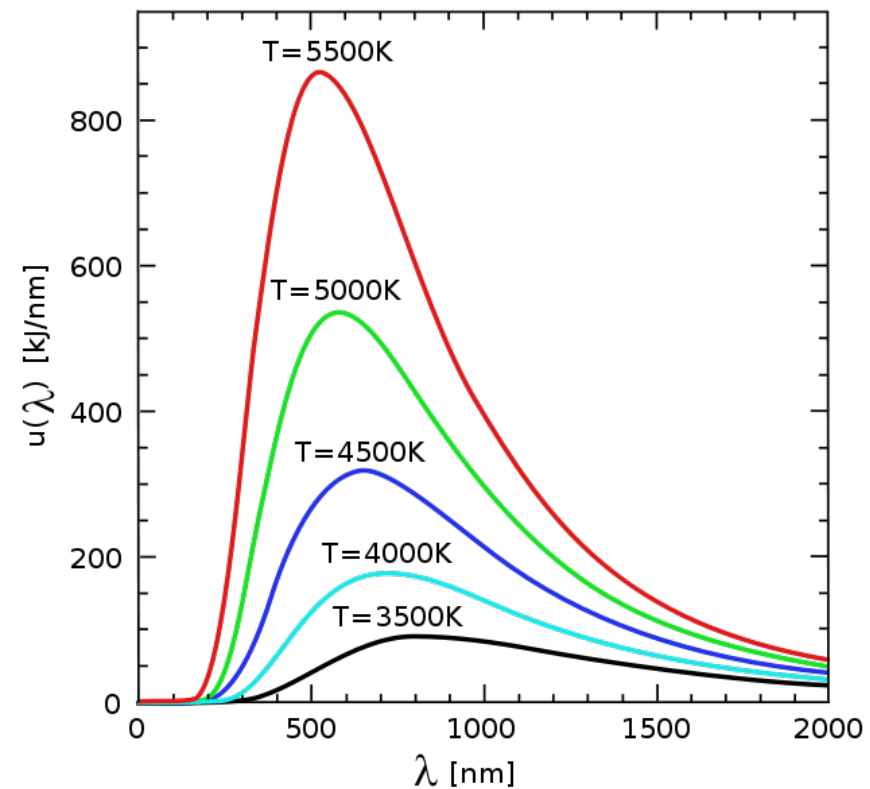


Planck's law for cavity radiation
プランクの黒体放射の法則

$$W_p(\omega) = \frac{\hbar\omega^3}{\pi^2 c^3} \frac{1}{\exp[\hbar\omega/k_B T] - 1}$$

$$B_{12} = B_{21} \quad \text{および} \quad A = \frac{\hbar\omega^3}{\pi^2 c^3} B_{21}$$

Cavity (black body) radiation

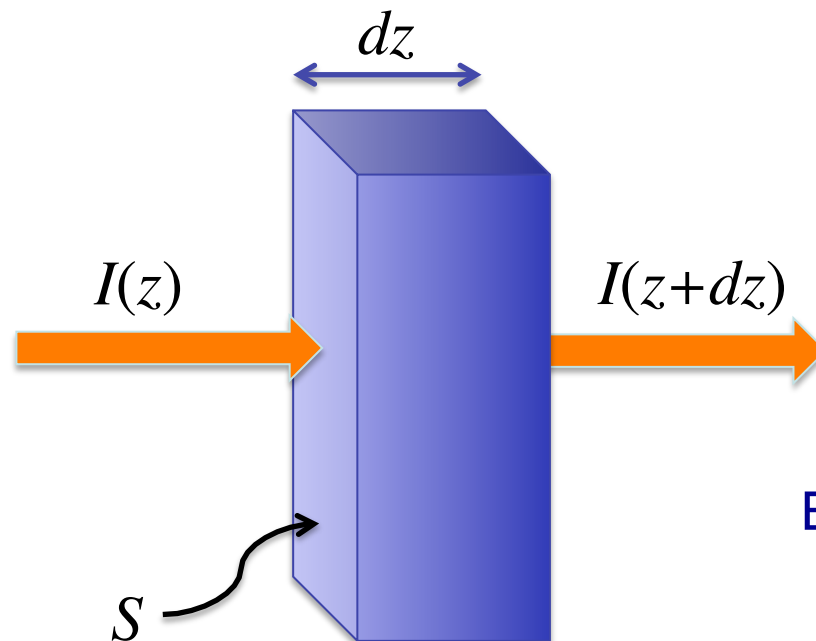


Conditions for producing a laser

レーザーが動作するための条件

- Population inversion 反転分布
- Saturation intensity 飽和強度
- Net gain per round trip/Lasing
 発振

Gain ゲイン (利得)



$$\frac{dI}{dz} = \frac{B(N_2 - N_1)\hbar\omega}{c} I$$



Extended Lambert-Beer law

$$I(z) = I_0 e^{gz} = I_0 e^{\sigma(N_2 - N_1)z}$$

Gain coefficient

$$g = \frac{B(N_2 - N_1)\hbar\omega}{c}$$

$$\sigma = \frac{B\hbar\omega}{c}$$

Stimulated emission cross section for a variety of lasers

| Laser | $\lambda(\text{nm})$ | $\sigma(\text{m}^{-2})$ |
|---------------|----------------------|-------------------------|
| He-Ne | 632.8 | 3.0×10^{-17} |
| Argon | 488.0 | 2.5×10^{-16} |
| He-Cd | 441.6 | 9.0×10^{-18} |
| Copper (CVL) | 510.5 | 8.6×10^{-18} |
| CO_2 | 10,600.0 | 3.0×10^{-22} |
| Excimer | 248.0 | 2.6×10^{-20} |
| Dye (Rh6G) | 577.0 | 2.5×10^{-20} |
| Semiconductor | 800.0 | 1.0×10^{-22} |
| Nd:YAG | 1064.1 | 6.5×10^{-23} |
| Nd:Glass | 1062.3 | 3.0×10^{-24} |
| Ti:Sapphire | 800.0 | 3.4×10^{-23} |
| Cr:LiSrAlF | 850.0 | 4.8×10^{-24} |

反転分布 Population inversion

$I(z) > I_0 \quad \text{for } z > 0 \quad \rightarrow \quad N_2 > N_1 \quad \text{a necessary condition}$

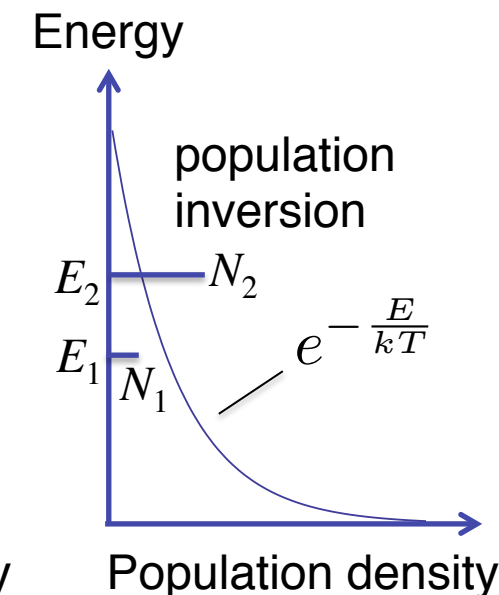
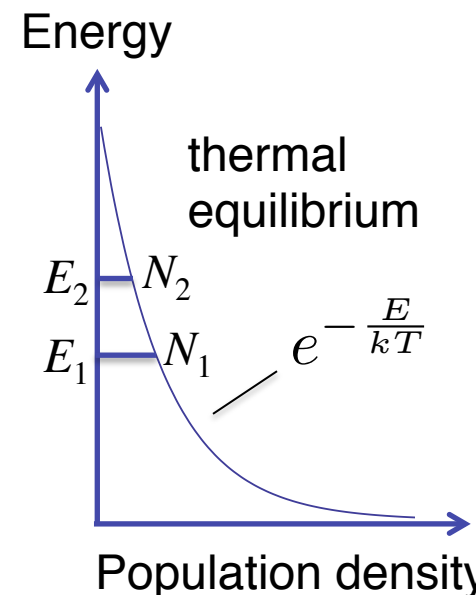
Stimulated emission > absorption

誘導放出 > 吸收

At thermal equilibrium

一方、熱平衡では

$$N_2 = N_1 \exp[-\hbar\omega/k_B T] \ll N_1$$

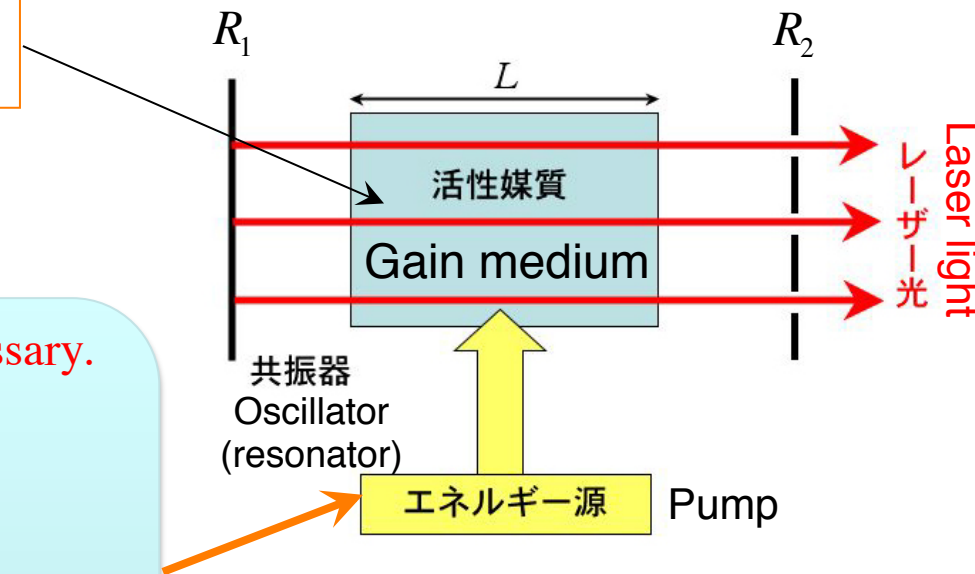


反転分布 Population inversion

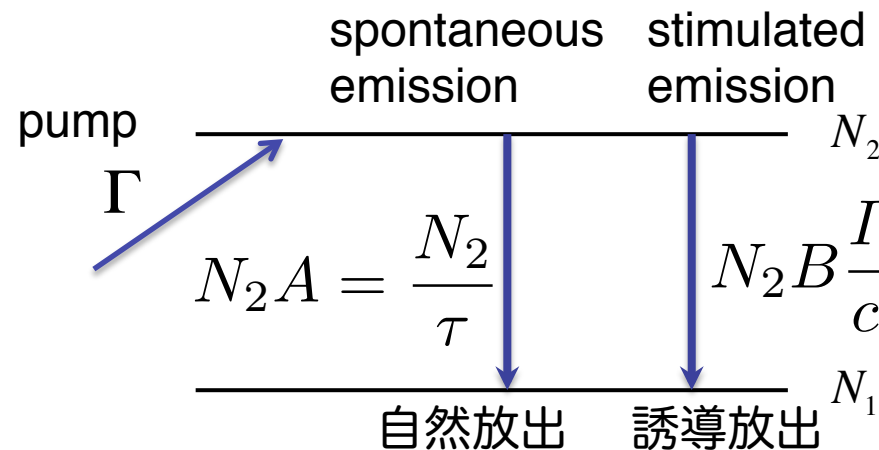
- Solid, liquid, gas 固体・液体・気体
- Plasma プラズマ
- Free electron 自由電子

Pumping energy source is necessary.
励起エネルギー源が必要

- Flash lump フラッシュランプ
- LED 発光ダイオード
- Gas discharge ガス放電
- Electric current 電流
- Chemical reaction 化学反応
- Another laser, レーザー



Saturation intensity 飽和強度



steady state

$$\frac{dN_2}{dt} = \Gamma - N_2 \left(\frac{1}{\tau} + \frac{BI}{c} \right) = 0 \quad \rightarrow \quad N_2 = \frac{\Gamma}{\frac{1}{\tau} + \frac{BI}{c}}$$

Saturation intensity 飽和強度

$$I_{\text{sat}} = \frac{c}{B\tau} = \frac{\hbar\omega}{\sigma\tau} \quad \sigma = \frac{B\hbar\omega}{c}$$

sufficient condition

saturation length

$$gL_{\text{sat}} = \sigma(N_2 - N_1)L_{\text{sat}} \cong 12 \pm 5$$

$$e^{gL_{\text{sat}}} \sim 10^5$$



Department of Nuclear
Engineering and Management



example: He-Ne laser

$$gL_{\text{sat}} = \sigma(N_2 - N_1)L_{\text{sat}} \cong 12 \pm 5$$

$$g = 0.15 \text{ m}^{-1} \rightarrow L_{\text{sat}} \sim 80 \text{ m} !$$

$$L = 0.2 \text{ m} \xrightarrow{\text{one path}} e^{gL} \cong 1.03$$

amplification by one path is small in general

$$\frac{L_{\text{sat}}}{L} \sim 400 \text{ paths} \quad \text{is necessary}$$

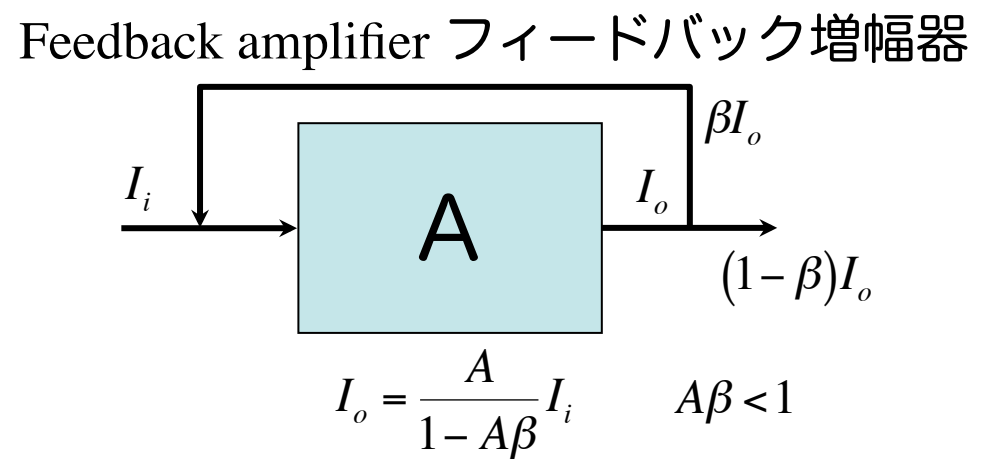
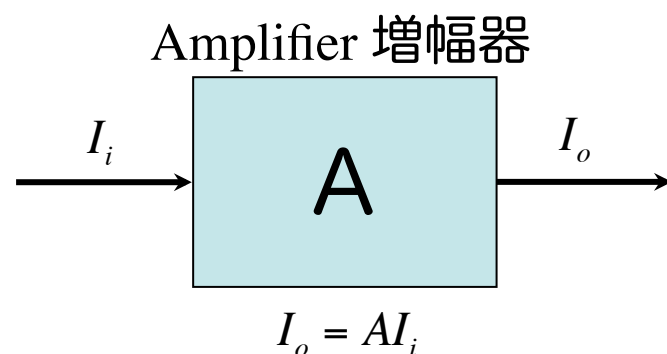
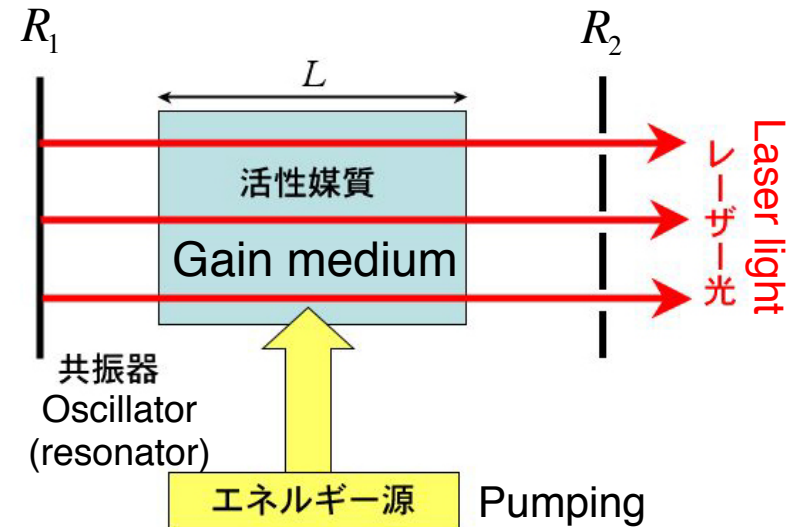


Department of Nuclear
Engineering and Management



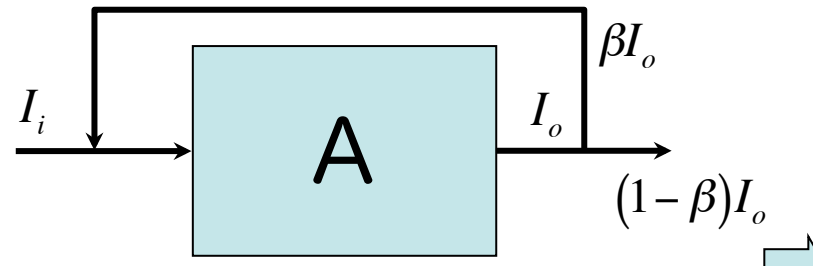
発振 Oscillation (lasing) in a resonator

The gain medium is put in a cavity (resonator) with two flat mirrors for lasing. レーザー光を発生するために、一般に活性媒質は一組の向かい合ったミラーからなる共振器の中に置かれる。



Net gain per round trip

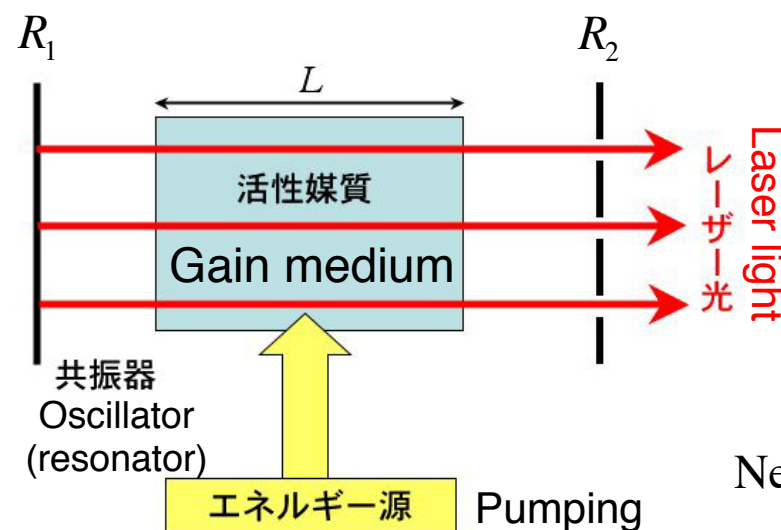
Feedback amplifier フィードバック増幅器



$$I_o = \frac{A}{1 - A\beta} I_i$$

$A\beta = 1 \rightarrow$ Infinite amplification
增幅率無限大

Oscillation (lasing) without an incident light (seeded by spontaneous emission)
入射光がなくても、自然放出を種にして大きな出力が得られる(発振)。



Lasing condition 定常的なレーザー発振の条件

$$\frac{\exp[2(g - a)L]R_1R_2}{A\beta} = 1$$

この式と $g = (N_2 - N_1)\sigma$ から

Necessary population inversion 必要な反転分布は

$$N_2 - N_1 = \frac{a}{\sigma} - \frac{\ln R_1R_2}{2L\sigma}$$

Amplifier parameters for various lasers

| Laser | g (m^{-1}) | L (m) | m |
|---------------|-------------------------|---------|-----|
| He-Ne | 0.15 | 0.2 | 400 |
| Argon | 0.5 | 1.0 | 24 |
| He-Cd | 0.3 | 0.5 | 80 |
| Copper (CVL) | 5 | 1.0 | 2.4 |
| CO_2 | 0.9 | 1.0 | 13 |
| Excimer | 2.6 | 1.0 | 4.6 |
| Dye (Rh6G) | 500 | 0.02 | 1.2 |
| GaAs | 100,000 | 0.0001 | 1.2 |
| Nd:YAG | 10 | 0.1 | 12 |
| Nd:glass | 3 | 0.1 | 40 |

Basic structure of a laser レーザーの構造

